

В.О. Коцюбинський<sup>1</sup>, В.В. Мокляк<sup>2</sup>, П.І. Колковський<sup>1</sup>,  
В.Л. Челядин<sup>1</sup>, А.Б. Груб'як<sup>1</sup>, М.В. Вишиванюк<sup>1</sup>, С.О. Юр'єв<sup>2</sup>,  
Аль-Саєді Абдул Халек Заміл<sup>1</sup>

## Гідратовані форми фториду заліза: синтез, магнітна мікроструктура та її зміни при інтеркаляції іонів літію

<sup>1</sup>Прикарпатський національний університет імені Василя Стефаника,  
вул. Шевченка, 57, Івано-Франківськ, 76000, Україна, [v.kotsuybivsky@mail.ru](mailto:v.kotsuybivsky@mail.ru)

<sup>2</sup>Інституту металофізики

ім. Г.В. Курдюмова НАН України, Київ, Україна.

<sup>3</sup>Національний університет «Львівська політехніка», вул. Степана Бандери, 1, м. Львів, 79013, Україна

Робота присвячена експериментальному вивченню основних аспектів синтезу фторидів заліза як шляхом дегідратації  $\text{FeF}_3 \cdot 3\text{H}_2\text{O}$  так і сонохімічним методом. Здійснено аналіз магнітної та кристалічної мікроструктур отриманих матеріалів. Вперше матеріал  $\text{Fe}_2\text{F}_5 \cdot 2\text{H}_2\text{O}$  апробований в якості основи катодної композиції літєвих джерел струму та вивчено зміни його магнітної мікроструктури після інтеркаляції іонів  $\text{Li}^+$ . Досліджено механізми зарядової компенсації в катодному матеріалі.

**Ключові слова:** гідратовані форми фторидів заліза, месбауєрівська спектроскопія, магнітна мікроструктура, інтеркаляція, літій-іонні джерела струму.

Стаття постуила до редакції 23.07.2011; прийнята до друку 15.09.2011.

### Вступ

Фториди заліза розглядаються зараз як один з перспективних матеріалів для катодів літій-іонних джерел струму (ЛІДС). Перевагами їх застосування в оборотних ЛІДС є порівняно висока напруга відкритого кола (до 4 В), оборотна ємність на рівні 200 мА·год/г. Незважаючи на значну зацікавленість даною проблематикою, в літературі відсутні дослідження впливу умов отримання на структурні параметри гідратованих форм фторидів заліза кінетичні характеристики струмотворюючих процесів, що відбуваються в ЛІДС а також на їх енергоємнісні параметри. Існуючі фрагментарні повідомлення не дають цілісної картини даних процесів, що в свою чергу не дозволяє прогнозувати перспективи їх практичного використання. Метою даної роботи була розробка методів отримання ультрадисперсних форм фторидів заліза різної ступені гідратації, дослідження їх кристалічної та магнітної структур і апробація отриманих матеріалів в якості катодного матеріалу літій-іонних джерел струму.

### І. Методи одержання та дослідження гідратованих фторидів заліза

В якості вихідного прекурсору при синтезі застосовано комерційний  $\text{FeF}_3 \cdot 3\text{H}_2\text{O}$  (Хімреактиви, хч). Рентгенодифрактометричні дослідження здійснювалися із застосуванням дифрактометра ДРОН-3 з фокусуванням рентгенівських променів за схемою Брегга-Брентано у випромінюванні мідного аноду ( $\lambda = 1,54178 \text{ \AA}$ ) та Ni-фільтром.

Для вивчення магнітної мікроструктури отриманих матеріалів використано метод месбауєрівської спектроскопії (прилад MS-1104Em, режим постійних прискорень, джерело  $\gamma$ -квантів – ізоотоп  $\text{Co}^{57}$  активністю 100 мКи у хромовій матриці, ширина лінії металічного  $\alpha\text{-Fe}$  рівна 0,29 мм/с, калібрування ізомерних зсувів відносно  $\alpha\text{-Fe}$ ).

Дериватографічний аналіз зразків здійснювався в діапазоні температур 20-900°C за допомогою синхронного термоаналізатора STA 449 F3 Jupiter.

Вимірювання кінетичних параметрів процесу інтеркаляції іонів літію здійснено в сконструйованих макетах з застосуванням двоелектродної схе-

ми. Катоди виготовлялися шляхом нанесення синтезованого матеріалу у вигляді пасти з застосуванням в якості дисперсійного середовища ацетону в присутності поверхнево-активної речовини на нетканий поліпропілен. Катод діаметром 25 мм механічно приводився в омичний контакт з струмомірачем з нержавіючої сталі. В якості електроліту застосовувався 1M розчин  $LiBF_4$  в  $\gamma$ -бутиролактоні. Анодом служив металічний літій. Для детального дослідження перебігу струмоутворюючих реакцій розряд комірки здійснювали у гальваностатичному режимі при густині струму  $C/20$ , струм розряду 100 мкА.

## II. Результати експерименту та їх обговорення

Вихідний матеріал являв собою суміш  $\beta$ - $FeF_3 \cdot 3H_2O$  (ICSD #14134) [1] та безводного  $FeF_3$  (рис.1), кристалографічні параметри якого дуже близькі до даних, отриманих авторами [2] для фториду заліза при тисках близько 6МПа. Відносний вміст фази високого тиску  $FeF_3$  (HP) становить 20 об. %. Відпал при 200°C протягом 1 год спричинює початок дегідратації та появу фази  $FeF_3 \cdot 0,33H_2O$  (ICSD #35359) [3], вміст якої становить 42 мас. %. При цьому вміст  $\beta$ - $FeF_3 \cdot 3H_2O$  та  $FeF_3$  (HP) становить  $34 \pm 4$  і  $24 \pm 6$  мас. %.

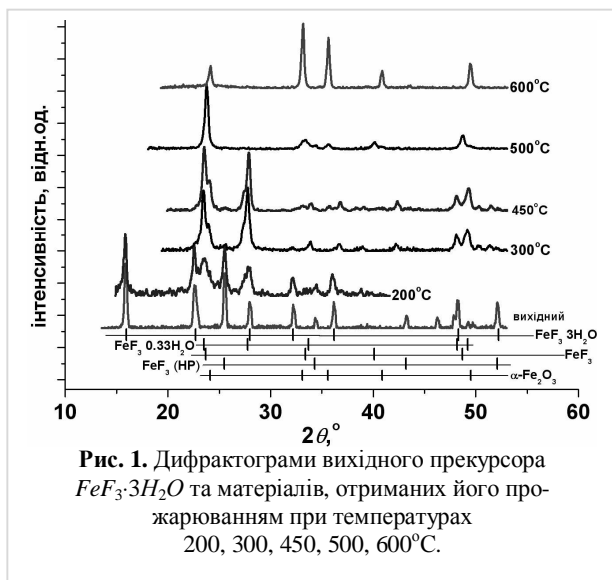


Рис. 1. Дифрактограми вихідного прекурсора  $FeF_3 \cdot 3H_2O$  та матеріалів, отриманих його прожарюванням при температурах 200, 300, 450, 500, 600°C.

Після відпалу вихідного матеріалу при 300°C єдиною кристалічною фазою є  $FeF_3 \cdot 0,33H_2O$  (ICSD #35359), причому аналогічний фазовий стан спостерігається і для зразка, отриманого прожарюванням суміші  $\beta$ - $FeF_3 \cdot 3H_2O$  +  $FeF_3$ (HP) при температурі 450°C. Монофазний безводний  $FeF_3$  (ICSD #41120)[4] отримувався відпалом вихідного прекурсора при 500°C. Продуктом розкладу вихідного прекурсора після прожарювання протягом 2 год при температурі 600°C є монофазний гематит  $\alpha$ - $Fe_2O_3$  (ICSD #81248) [5].

На термогравіметричній кривій, отриманій для вихідного прекурсора, втрата маси починає фіксуватися при температурі близько 90°C (рис.2). Інтегральна втрата маси зразка становить 36%. Можна очікувати в матеріалі присутність як кристалічно зв'язаної так і фізично адсорбованої води. Вважаючи, що процеси вивільнення обох форм  $H_2O$  незалежні і ймовірність дегідратації є функцією температури, було здійснено розклад кривої швидкості зміни маси зразка на окремі складові у формі функцій нормального розподілу Гауса. Максимальною є швидкість дегідратації в температурному діапазоні 130-250°C, в якому співіснують три процеси. Двом з них (температурний діапазон 130-210°C) можна поставити у відповідність видалення фізично адсорбованої води, яке повністю завершується повністю до температури 250°C. Видалення кристалічно зв'язаної води відбувається при температурах 200-230°C, а її відносний вміст становить 60-65%.

Втрата маси вихідного зразка, отриманого по-

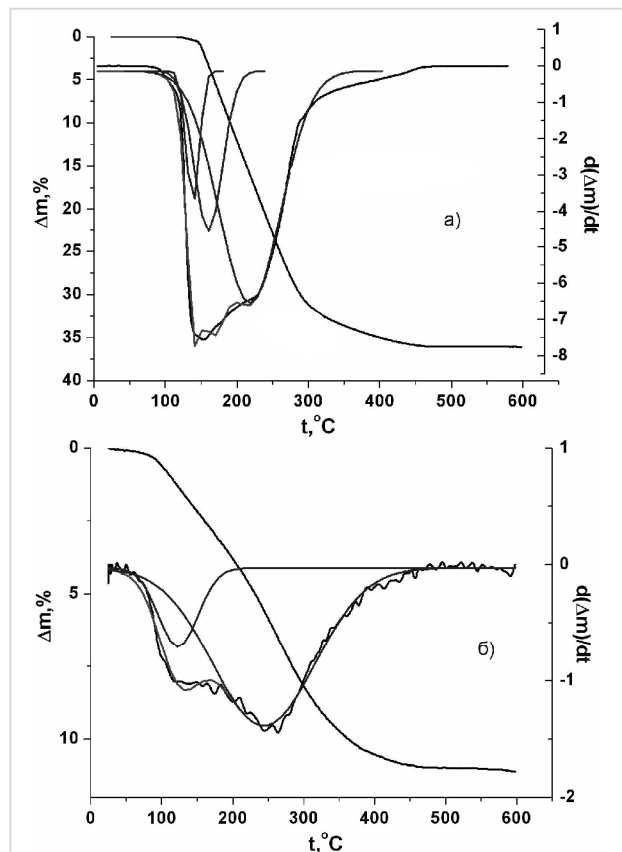


Рис. 2. Термогравіметричні та диференціально-термічні залежності, отримані для вихідного (а) та попередньо відпаленого при 200°C (б) прекурсора.

переднім прожарюванням прекурсора попередньо прожареного впродовж 1 год при 200°C становить 11 %, спостережувані на швидкості втрати маси два кінетичних процеси відповідають дегідратації  $FeF_3 \cdot 0,33H_2O$  та  $FeF_3 \cdot 3H_2O$  відповідно. Теоретично передбачена на основі рентгенодифрактометричних даних втрата маси становить 14%, що узгоджується

з результатом, отриманим експериментально. Близький хід дегідратаційних процесів  $FeF_3 \cdot 3H_2O$  спостерігався авторами [6].

Месбауерівський спектр вихідного прекурсора не передбачає присутності в матеріалі інших залізовмісних фаз, окрім виявлених рентгеноструктурним методом. Спектр являє собою парамагнітний дублет з незначною асиметрією, який є суперпозицією двох парціальних компонент з близькими значеннями ізомерного зсуву (0,69-0,70 мм/с), проте відмінними значеннями квадрупольного розщеплення – 0,59 та 0,75 мм/с (рис.3,а).

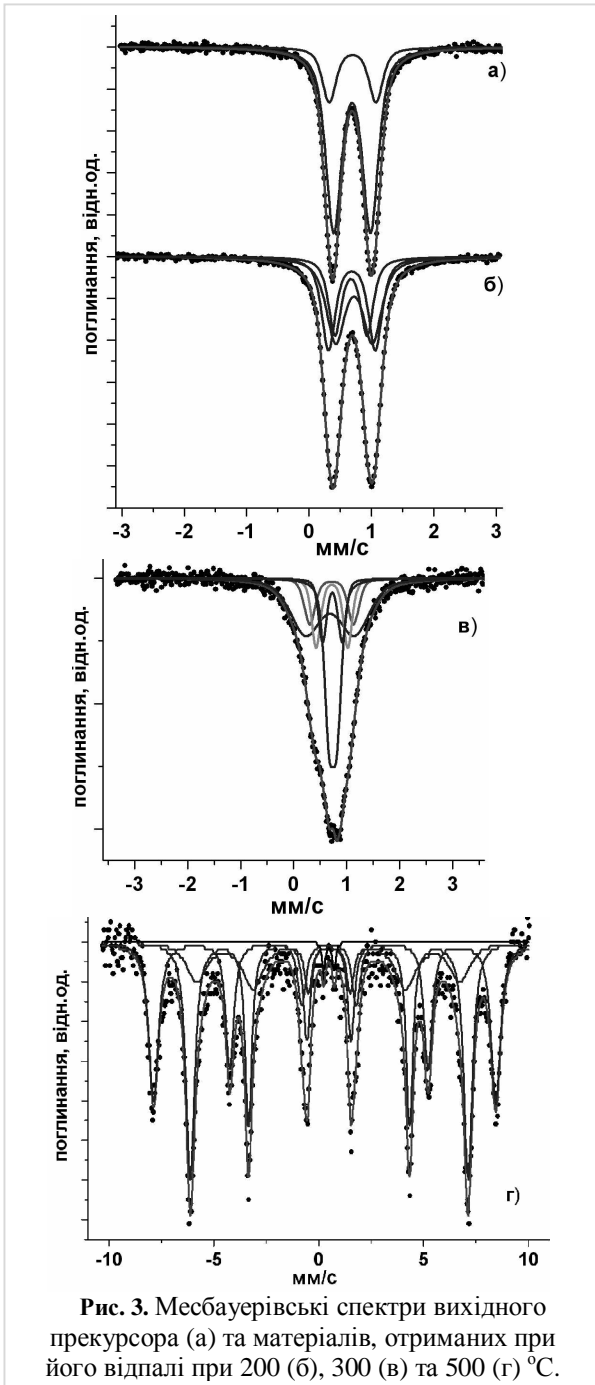


Рис. 3. Месбауерівські спектри вихідного прекурсора (а) та матеріалів, отриманих при його відпалі при 200 (б), 300 (в) та 500 (г) °С.

Відносна інтегральна інтенсивність цих компонент становить відповідно 79 та 21% і вони однозначно відповідають резонансному поглинанню  $\gamma$ -квантів ядрами заліза в  $\beta\text{-}FeF_3 \cdot 3H_2O$  та  $FeF_3$  (НР).

Отримані значення параметрів парціальних компонент відповідають результатам роботи [7]. У спектрі матеріалу, отриманого попереднім прожарюванням прекурсора при 200°С, виділено три складових, які відповідають рентгенокристалічним фазам  $\beta\text{-}FeF_3 \cdot 3H_2O$ ,  $FeF_3$  (НР) та  $FeF_3 \cdot 0,33H_2O$  (рис.3, б). В спектрі матеріалу, отриманого відпалом вихідного прекурсора при 300°С (рис.3, в) виявлено парціальну дублетну складову з квадрупольним розщепленням рівним 0,15 мм/с, якій можна поставити у відповідність рентгеноаморфні включення фази  $FeF_3$  з структурою пірохлору, кубічної сингонії, гексоктаедричного виду (таб.1).

Таблиця 1

Параметри парціальних компонент месбауерівських спектрів вихідного прекурсора та матеріалів, отриманих його відпалом при 200, 300 та 500°С

| Зразок                  | фаза                                | $d_s$ , мм/с | $D_s$ , мм/с | w, мм/с | $H_{ef}$ , кЕ | S, % |
|-------------------------|-------------------------------------|--------------|--------------|---------|---------------|------|
| Вихідний                | $\beta\text{-}FeF_3 \cdot 3H_2O$    | 0,69         | 0,59         | 0,30    | –             | 78,8 |
|                         | $FeF_3$ (НР)                        | 0,70         | 0,75         | 0,27    | –             | 21,2 |
| Після відпалу при 200°С | $\beta\text{-}FeF_3 \cdot 3H_2O$    | 0,67         | 0,52         | 0,30    | –             | 25,7 |
|                         | $\beta\text{-}FeF_3 \cdot 0,33H_2O$ | 0,72         | 0,59         | 0,36    | –             | 41,0 |
|                         | $FeF_3$ (НТ)                        | 0,68         | 0,75         | 0,26    | –             | 33,3 |
| Після відпалу при 300°С |                                     | 0,69         | 0,92         | 0,69    | –             | 36,0 |
|                         | $FeF_3 \cdot 0,33H_2O$              | 0,72         | 0,83         | 0,2,5   | –             | 11,1 |
|                         |                                     | 0,72         | 0,61         | 0,20    | –             | 13,6 |
|                         |                                     | 0,73         | 0,37         | 0,18    | –             | 10,8 |
| $FeF_3$ (куб)           | 0,74                                | 0,15         | 0,21         | –       | 28,5          |      |
| Після відпалу при 500°С | $\alpha\text{-}Fe_2O_3$             | 0,39         | -0,21        | 0,55    | 507           | 33,7 |
|                         | $FeF_3$                             | 0,48         | -0,05        | 1,13    | 390           | 22,1 |
|                         |                                     | 0,51         | 0,01         | 0,49    | 411           | 43,1 |
| $Fe^{2+}$               | 0,49                                | 0,50         | 0,18         | –       | 1,0           |      |

Вперше сполуку такого типу було синтезовано авторами [8] методом топотактичного окислення  $NH_4Fe_2F_6$ . Хоча за дифрактометричними даними отриманий відпалом при 500°С матеріал є монофазним ромбоєдричним  $FeF_3$  з типом кристалічного впорядкування, характерним для вольфрамової бронзи, за даними месбауерівської спектроскопії (рис.3, г) ця система містить рентгеноаморфну компоненту – гематит  $\alpha\text{-}Fe_2O_3$  (в неї входять близько третини атомів заліза). Окрім цього в матеріалі зафіксовано сліди  $Fe^{2+}$ , присутність якого, очевидно, зумовлена порушеннями надобмінної взаємодії внаслідок дефектності кристалічної структури. В сполуці  $FeF_3$  іони заліза тривалентні, ймовірність заповнення як  $t_{2g}$ , так і  $e_g$ - орбіталей рівні і магнітну структуру матеріалу визначає антиферомагнітна взаємодія з вираженим спіральним характером.

Матеріал, відпалений при 200°C, застосовувався в якості прекурсора при сонохімічному синтезі. Приготований в оцтовій кислоті колоїд піддавався ультразвуковій обробці протягом 1 год при температурі 80°C з випаровуванням, після чого гель просушувався при температурі 70-80°C (зразок S1). Основною фазою цього матеріалу є  $Fe_2F_5 \cdot 7H_2O$  (рис.4, а). Аналогічний результат отримувался при ультразвуковій обробці суспензії, в склад якої додатково вводилося 10 мас.% ацителенової сажі та поверхнево активна речовина (рис.4, б) ( зразок S2).

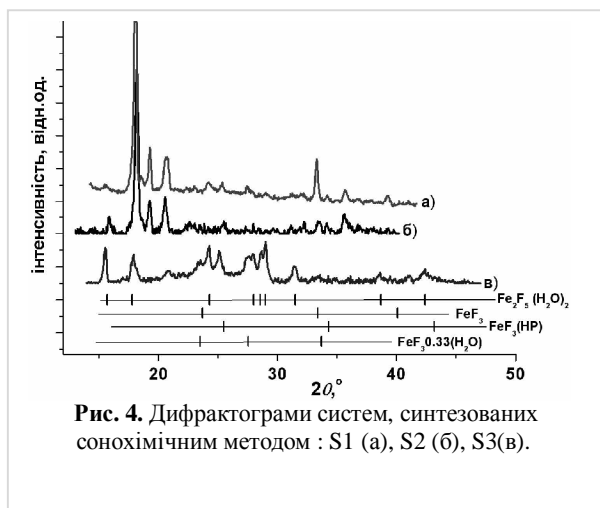


Рис. 4. Дифрактограми систем, синтезованих сонохімічним методом : S1 (а), S2 (б), S3(в).

В результаті витримки отриманого матеріалу при 150°C протягом 1 год (зразок S3) його кристалічна структура повністю змінюється (рис.4, в), домінуючою стає фаза  $Fe_2F_5 \cdot H_2O_2$ , вміст якої становить 75-80%. Окрім неї зафіксовано наявність фаз  $FeF_3 \cdot 0,33H_2O$  та  $FeF_3$ . Часткова дегідратація  $Fe_2F_5 \cdot 7H_2O$  з формуванням  $Fe_2F_5 \cdot H_2O_2$  при 100°C фіксувалася авторами [9]. Хід дегідратаційного процесу описується наступним чином:  $Fe_2F_5 \cdot 7H_2O \rightleftharpoons [Fe(H_2O)_6]^{2+} [FeF_5(H_2O)]^{2-} \leftrightarrow Fe^{2+} Fe^{3+} F_5 \cdot 2H_2O + 5H_2O$ .

Висновки про фазовий склад матеріалів, синтезованих сонохімічним методом, ґрунтувалися на результатах месбауерівської спектроскопії.

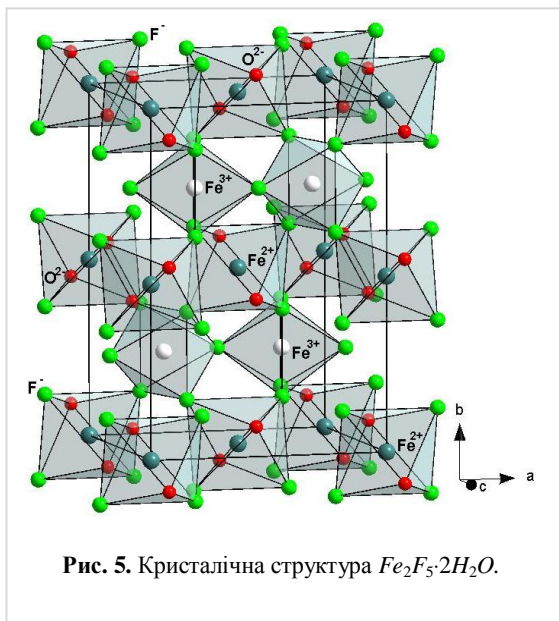


Рис. 5. Кристалічна структура  $Fe_2F_5 \cdot 2H_2O$ .

Кристалічна структура  $Fe_2F_5 \cdot 2H_2O$  складається з шарів октаєдрів, сформованих з іонів кисню, фтору, в центрі яких знаходяться іони заліза, причому спостерігається пошарове розміщення дво- та тривалентного заліза (рис.5).

При температурі нижчій 48 К матеріал характеризується феромагнітним впорядкуванням в результаті спінової компенсації іонів заліза різної валентності. Вище цієї температури месбауерівський спектр являє собою суперпозицію кількох дублетних компонент (таб.2, рис.6, б). В нашому випадку дві компоненти, зі значеннями квадрупольного розщеплення більшим 2 мм/с можна однозначно поставити у відповідність з іонами  $Fe^{2+}$  локалізованих у двох кристалічнонееквівалентних позиціях гратки. Інші дві компоненти відповідають двом типам магнітонееквівалентних іонів  $Fe^{3+}$ . Співвідношення відносного вмісту  $Fe^{2+}/Fe^{3+}$  для S3 становить 0,92, тоді як для матеріалу S1 цей параметр становить 1,83. Для цієї системи месбауерівський спектр містить тільки одну компоненту, яка відповідає фазі з  $Fe^{3+}$ .

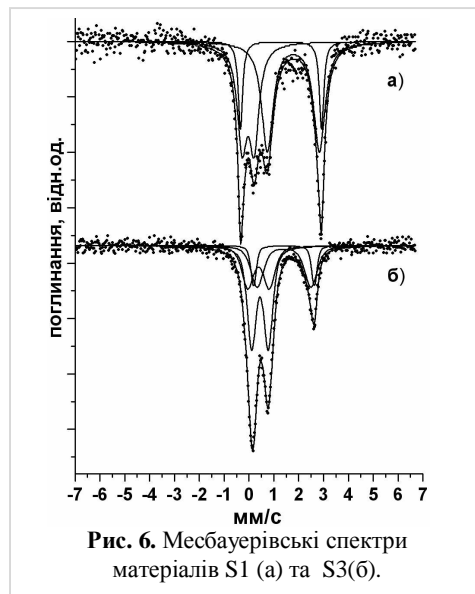


Рис. 6. Месбауерівські спектри матеріалів S1 (а) та S3(б).

Таблиця 2

Параметри компонент месбауерівських спектрів матеріалів, отриманих сонохімічним методом

| Зразок | фаза                    | $d_s$ , мм/с | $D_s$ , мм/с | w, мм/с | $S_s$ , % |
|--------|-------------------------|--------------|--------------|---------|-----------|
| S1     | $Fe_2F_5 \cdot 7(H_2O)$ | 1,79         | 2,10         | 0,55    | 44,7      |
|        |                         | 0            | 0,48         | 0,46    | 35,3      |
|        |                         | 1,29         | 3,27         | 0,21    | 20,0      |
| S3     | $Fe_2F_5 \cdot 2(H_2O)$ | 1,41         | 2,16         | 0,61    | 25,3      |
|        |                         | 1,41         | 2,44         | 0,26    | 22,7      |
|        |                         | 0,44         | 0,67         | 0,43    | 24,5      |
|        |                         | 0,38         | 0,86         | 0,57    | 27,5      |
|        |                         |              |              |         |           |

Перспективність застосування  $Fe_2F_5 \cdot 2H_2O$  в якості катодного матеріалу ЛІДС обумовлюється кристалохімічними особливостями його структури

та наявністю перколяційної складової електропровідності.

Матеріал S3 з розчином зв'язуючого компонента (полівініліденфторид) гомогенізувався до пастоподібного стану та використовувався для виготовлення катоду модельного ЛІДС. Компонування макету проводилося в атмосфері осушеного аргону.

На розрядній кривій спостерігаються два окремих етапи процесу розряду, перехід між якими очевидно відповідає структурно-фазовим змінам катодного матеріалу, ініційованим впровадженням іонів  $Li^+$  (рис.7).

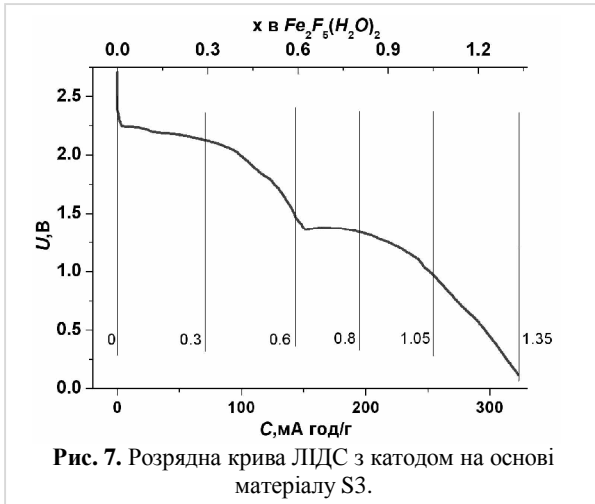


Рис. 7. Розрядна крива ЛІДС з катодом на основі матеріалу S3.

Висновки про перебіг розряду можна зробити на основі аналізу змін магнітної мікроструктури ка-

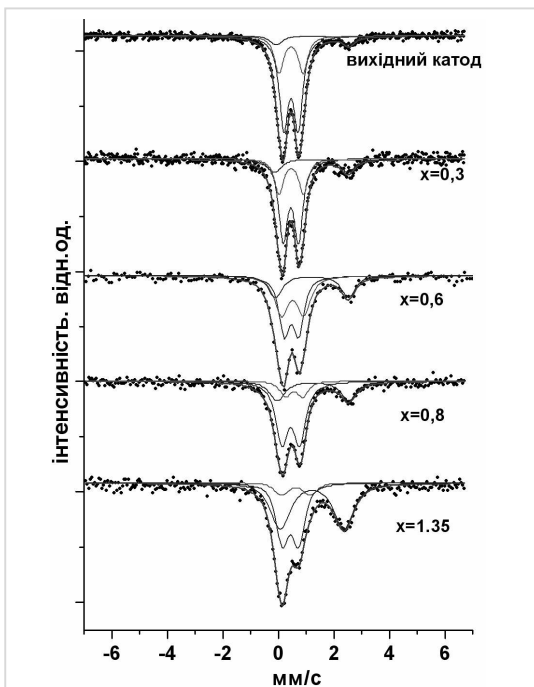


Рис. 8. Месбауерівські спектри катоду на основі матеріалу S3, отримані при різних значеннях ступеня впровадження іонів  $Li^+$ .

тодного матеріалу при різному вмісті інтеркальованих іонів  $Li^+$ . Значення ступенів впровадження  $x$

(кількість молів інтеркальованих  $Li^+$  в перерахунку на 1 моль  $Fe_2F_5 \cdot 2H_2O$ ), при яких було отримано месбауерівські спектри катоду рівні, відповідно, 0, 0,3; 0,6; 0,8 та 1,35 (рис. 8, таб.3).

Таблиця 3

Параметри компонент месбауерівських спектрів: вихідного катоду,  $x=0,3$ ;  $x=0,6$ ;  $x=0,8$ ;  $x=1,35$ .

|                                     | Компонаента | $d_s$ , мм/с | $D_s$ , мм/с | $S$ , % | $w$ , мм/с |
|-------------------------------------|-------------|--------------|--------------|---------|------------|
| Катод після контакту з електролітом | $D_1$       | 1,23         | 2,62         | 9,0     | 0,52       |
|                                     | $D_2$       | 0,45         | 0,52         | 64,4    | 0,39       |
|                                     | $D_3$       | 0,46         | 0,87         | 26,6    | 0,39       |
| $x=0,3$                             | $D_1$       | 0,45         | 0,55         | 58,4    | 0,38       |
|                                     | $D_2$       | 1,19         | 2,64         | 15,6    | 0,59       |
|                                     | $D_3$       | 0,46         | 0,88         | 26,0    | 0,39       |
| $x=0,6$                             | $D_1$       | 0,22         | 0,29         | 45,1    | 0,24       |
|                                     | $D_2$       | 0,71         | 1,37         | 21,3    | 0,34       |
|                                     | $D_3$       | 0,21         | 0,61         | 33,6    | 0,32       |
| $x=0,8$                             | $D_1$       | 0,51         | 0,75         | 26,1    | 0,68       |
|                                     | $D_2$       | 1,21         | 2,62         | 24,2    | 0,66       |
|                                     | $D_3$       | 0,46         | 0,59         | 49,7    | 0,47       |
| $x=1,35$                            | $D_1$       | 0,45         | 0,58         | 41,1    | 0,53       |
|                                     | $D_2$       | 1,20         | 2,31         | 47,3    | 0,85       |
|                                     | $D_3$       | 0,65         | 1,16         | 11,6    | 0,67       |

Для катодного матеріалу після контакту з електролітом відносний вміст  $Fe^{2+}$  зменшується до 9 %, що можна інтерпретувати наступним чином. Сіль  $LiBF_4$  сольватує в розчині  $\gamma$ -бутирилактону (ГБЛ) з утворенням комплексів  $[Li(ГБЛ)_2]^+$  чи  $[Li(ГБЛ)_3]^+$ , де ГБЛ- молекула  $C_4H_6O_2$ . При формуванні границі розділу катод / електроліт стає можливим як перехід електрона в електроліт з нейтралізацією таких комплексів, так і зворотній процес з встановлення динамічної рівноваги. Виявлено, що

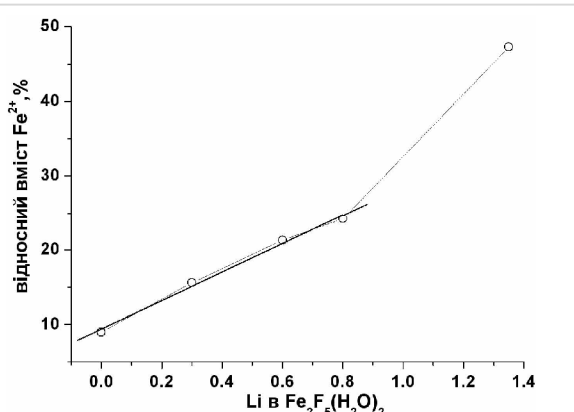


Рис. 9. Зміни відносного вмісту  $Fe^{2+}$  в катодному матеріалі із ростом ступеня впровадження  $Li^+$ .

вміст  $Fe^{2+}$  лінійно зростає з ростом ступеня впро-

вадження  $x$  до його значення 0,8, після чого характер залежності змінюється (рис.9).

Ріст ступеня впровадження не впливає на композицію мессбауерівських спектрів – для всіх випадків характерними є наявність двох нееквівалентних позицій  $Fe^{3+}$  та однієї  $Fe^{2+}$ .

## Висновки

Проаналізовано процес дегідратації  $FeF_3 \cdot 3H_2O$  та досліджено кристалічну і магнітну мікроструктури матеріалів, що утворюються під час даного процесу. Визначено технологічні умови отримання безводного  $FeF_3$ .

Розроблено та апробовано методику сонохімічного синтезу  $Fe_2F_5 \cdot 7H_2O$  та  $Fe_2F_5 \cdot 2H_2O$ .

Вперше застосовано  $Fe_2F_5 \cdot 2H_2O$  в якості основи катодної композиції літєвих джерел струму. Вперше проаналізовано зміни магнітної мікроструктури  $Fe_2F_5 \cdot 2H_2O$  при інтеркаляції іонів  $Li^+$ . Встановлено, що зарядова компенсація в катодному матеріалі відбувається з відновленням частини іонів заліза  $Fe^{3+}$  до  $Fe^{2+}$ .

*Робота виконана у рамках проекту UKX 2-9200-IF-08 за підтримки CRDF/USAID.*

- [1] G. Teufer. The crystal structure of beta iron(III) trifluoride trihydrate,  $\beta\text{-FeF}_3(\text{H}_2\text{O})_3$  // Acta Crystallographica, **17**, pp. 1480-1480 (1964).
- [2] H. Sowa, H. Ahsbahs. Pressure-induced octahedron strain in  $\text{VF}_3$ -type compounds // Acta Crystallographica B, **55**, pp. 578-584 (1998).
- [3] M. le Blanc; G. Ferey; P. Chevalier; Y. Calage; R. de Pape. Hexagonal tungsten bronze-type Fe(III) fluoride:  $(\text{H}_2\text{O})_{0.33}\text{FeF}_3$ . Crystal structure, magnetic properties, dehydration to a new form of iron trifluoride // Journal of Solid State Chemistry, **47**, pp. 53-58 (1983).
- [4] M. Leblanc; J. Pannetier; G. Ferey; R. de Pape. Single crystal refinement of the structure of rhombohedral  $\text{FeF}_3$  // Phase Transition, **38**, pp. 127-220 (1992).
- [5] E.N. Maslen, V.A. Strel'tsov, N.R. Strel'tsova, N. Ishizawa. Synchrotron X-ray study of the electron density in alpha  $\text{Fe}_2\text{O}_3$  // Acta Crystallographica B, **50**, pp. 435-441 (1994).
- [6] S.S. Berdonosov, V.Ya. Lebedev, D.G. Berdonosova, M.A. Prokofiev, I.V. Znamenskaya, I.V. Melikhov, B.I. Kharisov, U. Ortiz Méndez, O.V. Kharissova. Influence of microwave treatment on the dehydration of crystallohydrates of iron, cobalt and nickel fluorides // Journal of Microwave Power & Electromagnetic Energy, **42**(2), pp. 42-2-15 – 42-2-20 (2008).
- [7] I. Dizsi P.J. Ouseph, P.M. Thomas. Mossbauer and thermoanalytical studies of ferric fluoride hydrates // J. Inorg. Nucl. Chem., **36**, pp. 833-836 (1974).
- [8] Y. Calage, M. Zemirli, J.M. Greneche, F. Varret, R. de Pape, G. Ferey. Mossbauer study of the new pyrochlore form of  $\text{FeF}_3$  // Journal of Solid State Chemistry, **69**, pp. 197-201 (1987).
- [9] D. Gallie, R.H. Vogel and B.J. Evans.  $^{57}\text{Fe}$  Mossbauer investigation of local structures in mixed-valence  $\text{Fe}_2\text{F}_5 \cdot 7(\text{H}_2\text{O})$  and its aqueous oxidation products  $\alpha$  and  $\beta\text{-FeF}_3 \cdot 3\text{H}_2\text{O}$  // Journal De Physique C, **41**, pp. C1-289 - C1-290 (1980).

V.O. Kotsyubynsky<sup>1</sup>, V.V. Mokliak<sup>2</sup>, P.I. Kolkovskyy<sup>1</sup>, V.L. Chelyadyn<sup>1</sup>, A.B. Grubiak<sup>1</sup>,  
V.M. Vyshyvanyuk<sup>1</sup>, S.O. Yuriev<sup>1</sup>, Al-Saedi Abdul Halek Zamil<sup>1</sup>

## Hydrated Iron Fluorides: Synthesis, Magnetic Microstructure and Its Changes After Lithium Intercalation

<sup>1</sup>Vasyl Stefanyk Precarpathian National University, 57 Shevchenko Str., Ivano-Frankivsk, 76000, Ukraine, [v.kotsyubynsky@mail.ru](mailto:v.kotsyubynsky@mail.ru)

<sup>2</sup>Institute for Metal Physics of G.V. Kurdyumov, N.A.S. Ukraine, Kyiv, Ukraine

<sup>3</sup>Lviv Polytechnic National University, Str. 12, Stepan Bandera, Lviv

Paper deals with the experimental study of the main aspects of iron fluoride synthesis by  $\text{FeF}_3 \cdot 3\text{H}_2\text{O}$  dehydration and by sonochemical method. Analysis of magnetic and crystal microstructures of obtained materials was carried out. For the first time  $\text{Fe}_2\text{F}_5 \cdot 2\text{H}_2\text{O}$  material was tested as the cathode composition base of lithium power sources and changes of its magnetic microstructure after  $Li^+$  ions intercalation was studied. Mechanisms of charge compensation in cathode material were researched.

**Коцюбинський В.О.** – кандидат фізико-математичних наук, доцент кафедри матеріалознавства і новітніх технологій;

**Мокляк В.В.** – кандидат фізико-математичних наук, науковий співробітник Інституту металофізики ім. Г.В. Курдюмова НАН України, Київ, Україна;

**Колковський П.І.** – аспірант кафедри матеріалознавства і новітніх технологій;

**Челядин В.Л.** – молодший науковий співробітник кафедри матеріалознавства і новітніх технологій;

**Груб'як А.Б.** – магістрант фізико-технічного факультету;

**Вишиванюк М.В.** – кандидат економічних наук, доцент;

**Юр'єв С.О.** – кандидат фізико-математичних наук, доцент кафедри фізики;

**Аль-Саєді Абдул Халек Заміл** – аспірант кафедри матеріалознавства і новітніх технологій.